Zeitschrift: Mitteilungen der Naturforschenden Gesellschaft in Bern

Herausgeber: Naturforschende Gesellschaft in Bern

Band: 21 (1963)

Artikel: Osteometrische Untersuchungen an Rinderknochen aus Pfahlbauten

des Bielersees

Autor: Imhof, Urs

Kapitel: [Diagramme und Tafeln]

DOI: https://doi.org/10.5169/seals-319519

Nutzungsbedingungen

Die ETH-Bibliothek ist die Anbieterin der digitalisierten Zeitschriften auf E-Periodica. Sie besitzt keine Urheberrechte an den Zeitschriften und ist nicht verantwortlich für deren Inhalte. Die Rechte liegen in der Regel bei den Herausgebern beziehungsweise den externen Rechteinhabern. Das Veröffentlichen von Bildern in Print- und Online-Publikationen sowie auf Social Media-Kanälen oder Webseiten ist nur mit vorheriger Genehmigung der Rechteinhaber erlaubt. Mehr erfahren

Conditions d'utilisation

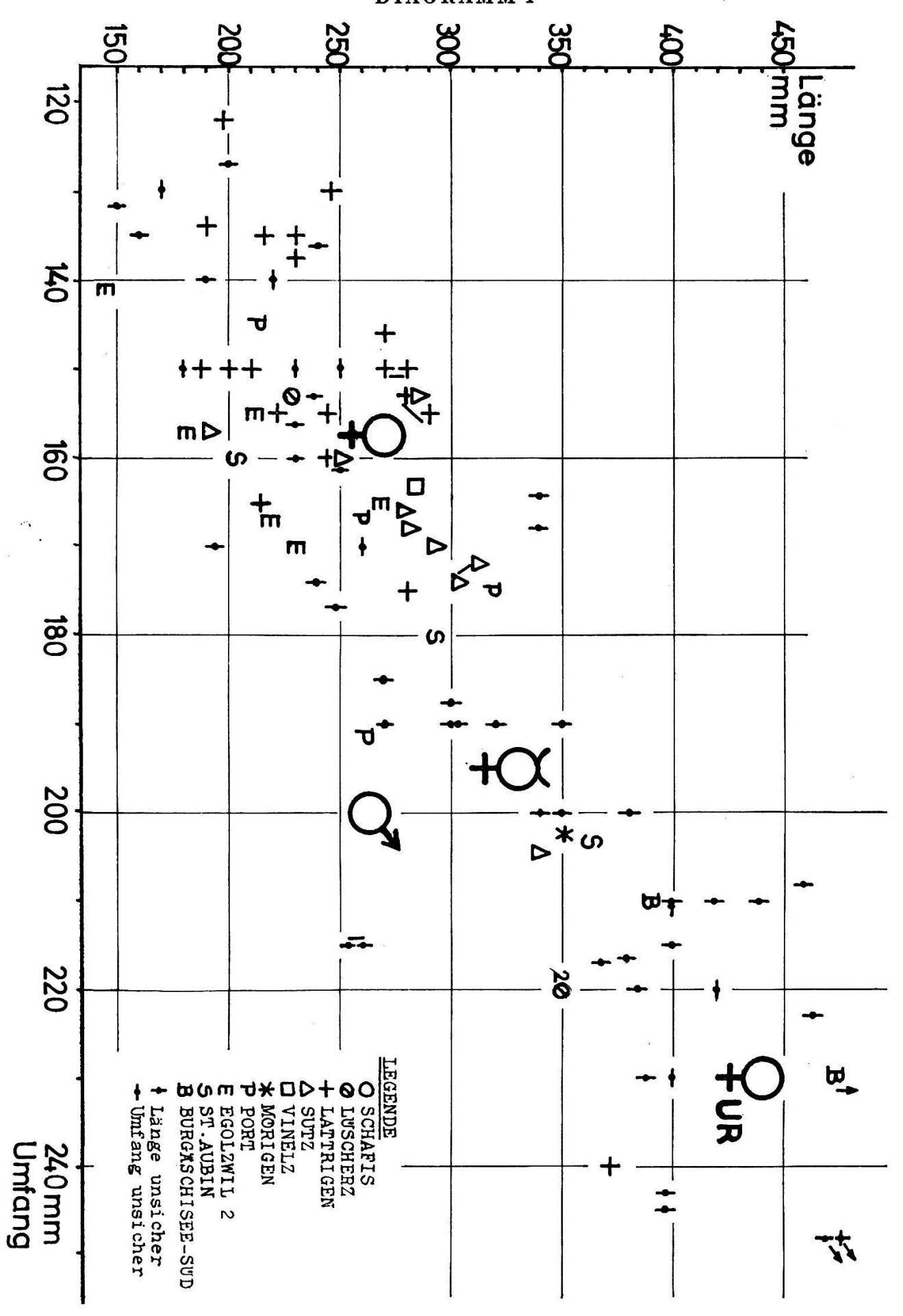
L'ETH Library est le fournisseur des revues numérisées. Elle ne détient aucun droit d'auteur sur les revues et n'est pas responsable de leur contenu. En règle générale, les droits sont détenus par les éditeurs ou les détenteurs de droits externes. La reproduction d'images dans des publications imprimées ou en ligne ainsi que sur des canaux de médias sociaux ou des sites web n'est autorisée qu'avec l'accord préalable des détenteurs des droits. En savoir plus

Terms of use

The ETH Library is the provider of the digitised journals. It does not own any copyrights to the journals and is not responsible for their content. The rights usually lie with the publishers or the external rights holders. Publishing images in print and online publications, as well as on social media channels or websites, is only permitted with the prior consent of the rights holders. Find out more

Download PDF: 02.11.2025

ETH-Bibliothek Zürich, E-Periodica, https://www.e-periodica.ch



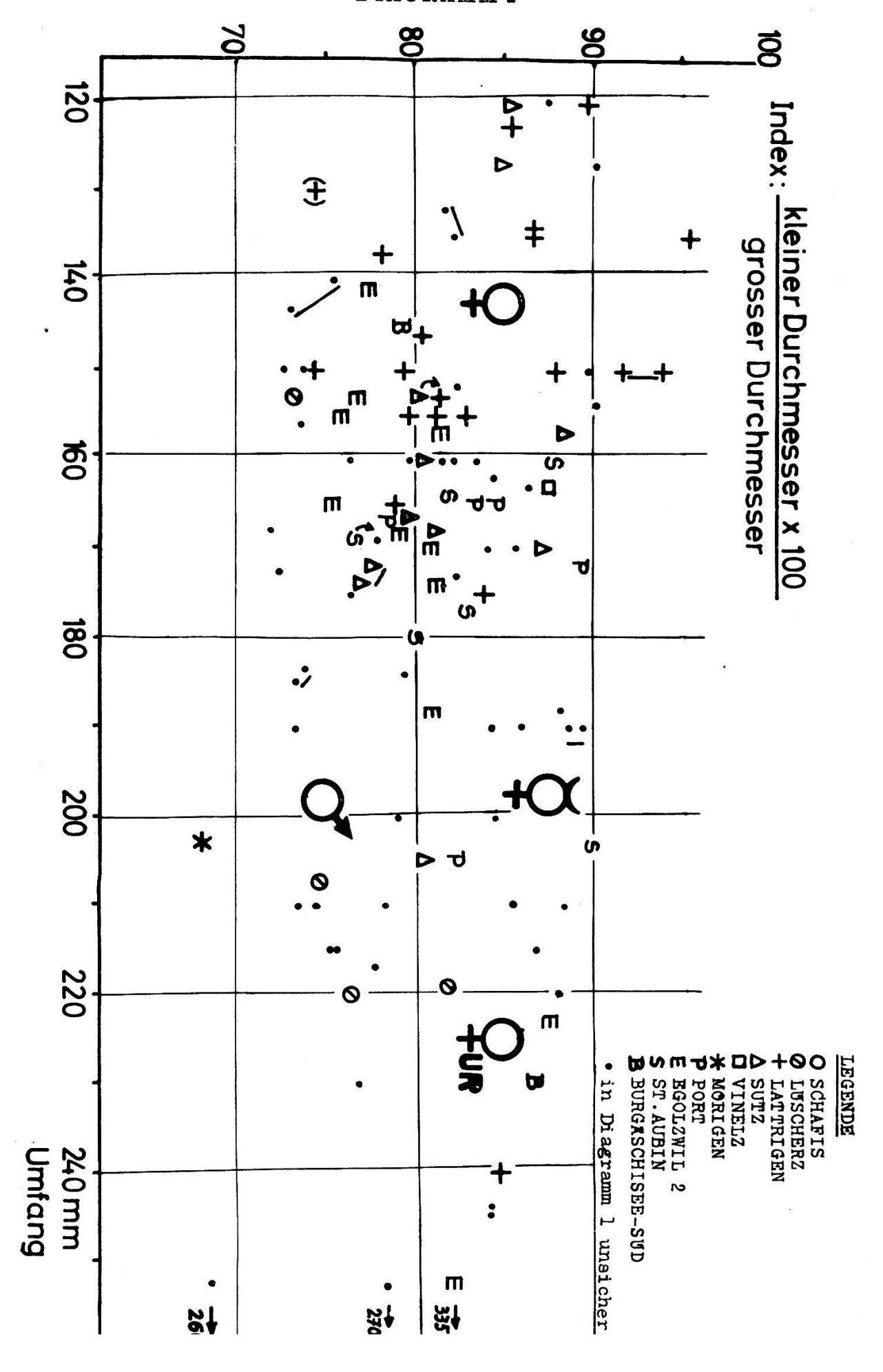
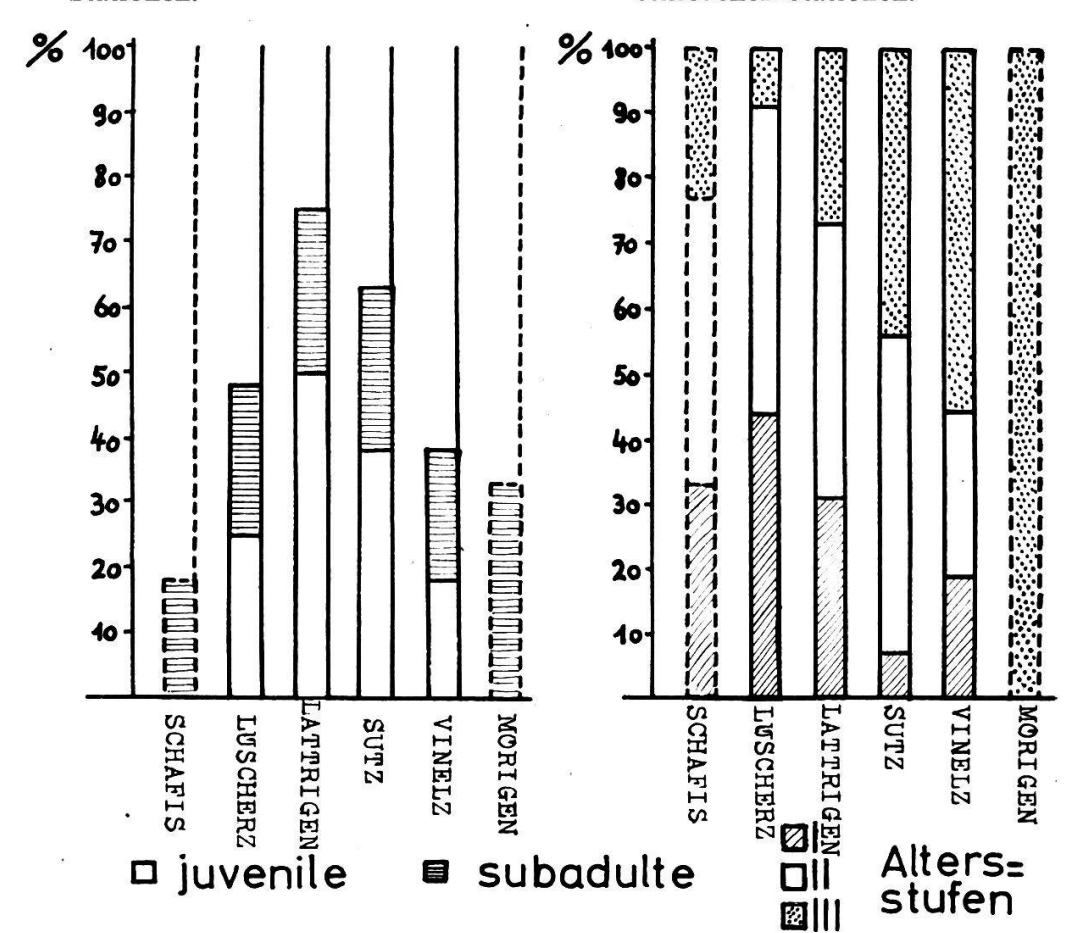


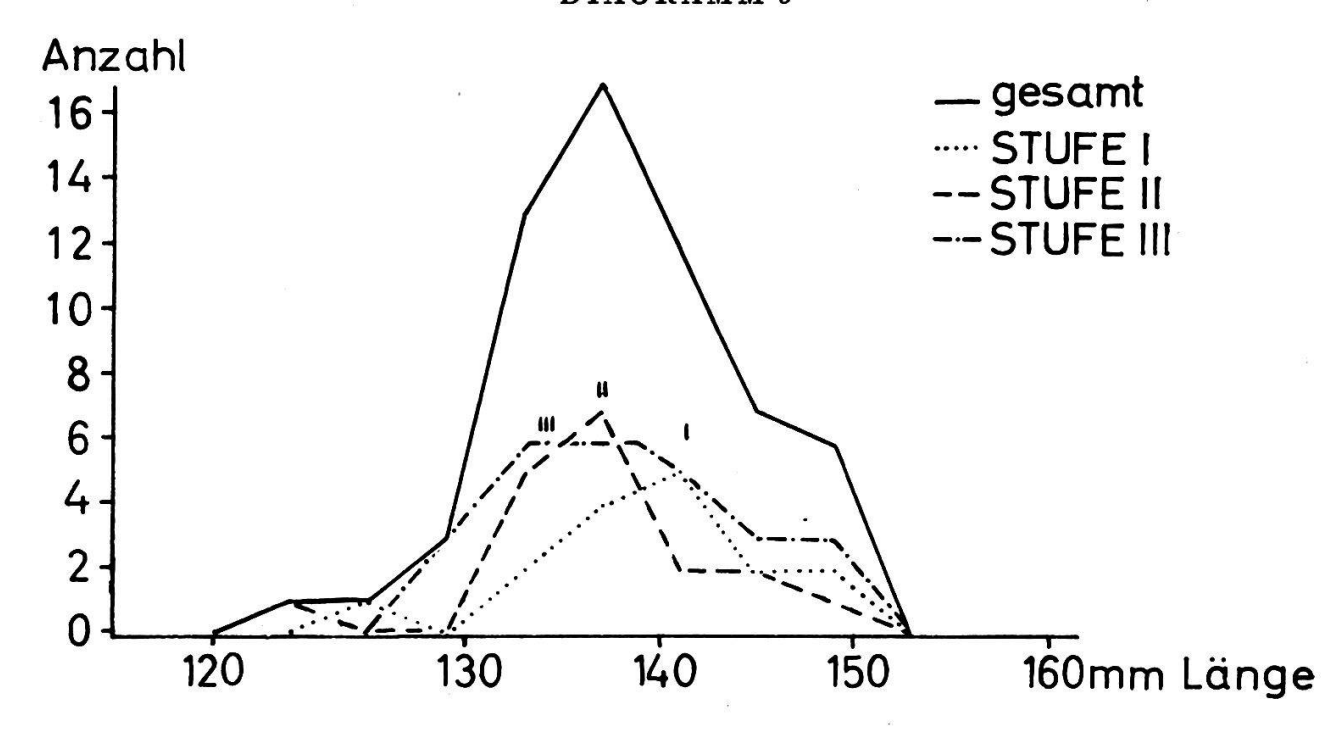
DIAGRAMM 3

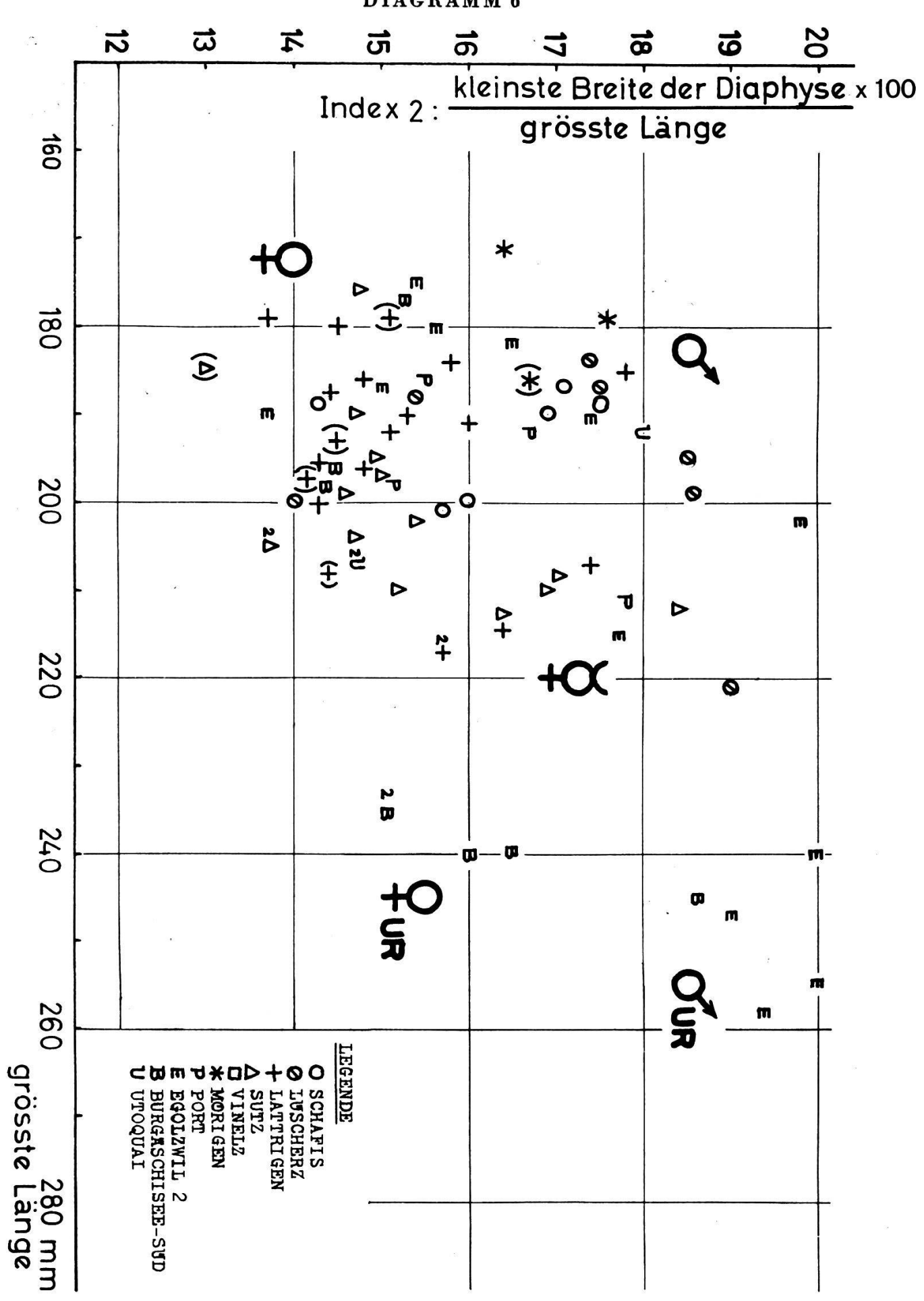
DIAGRAMM 4

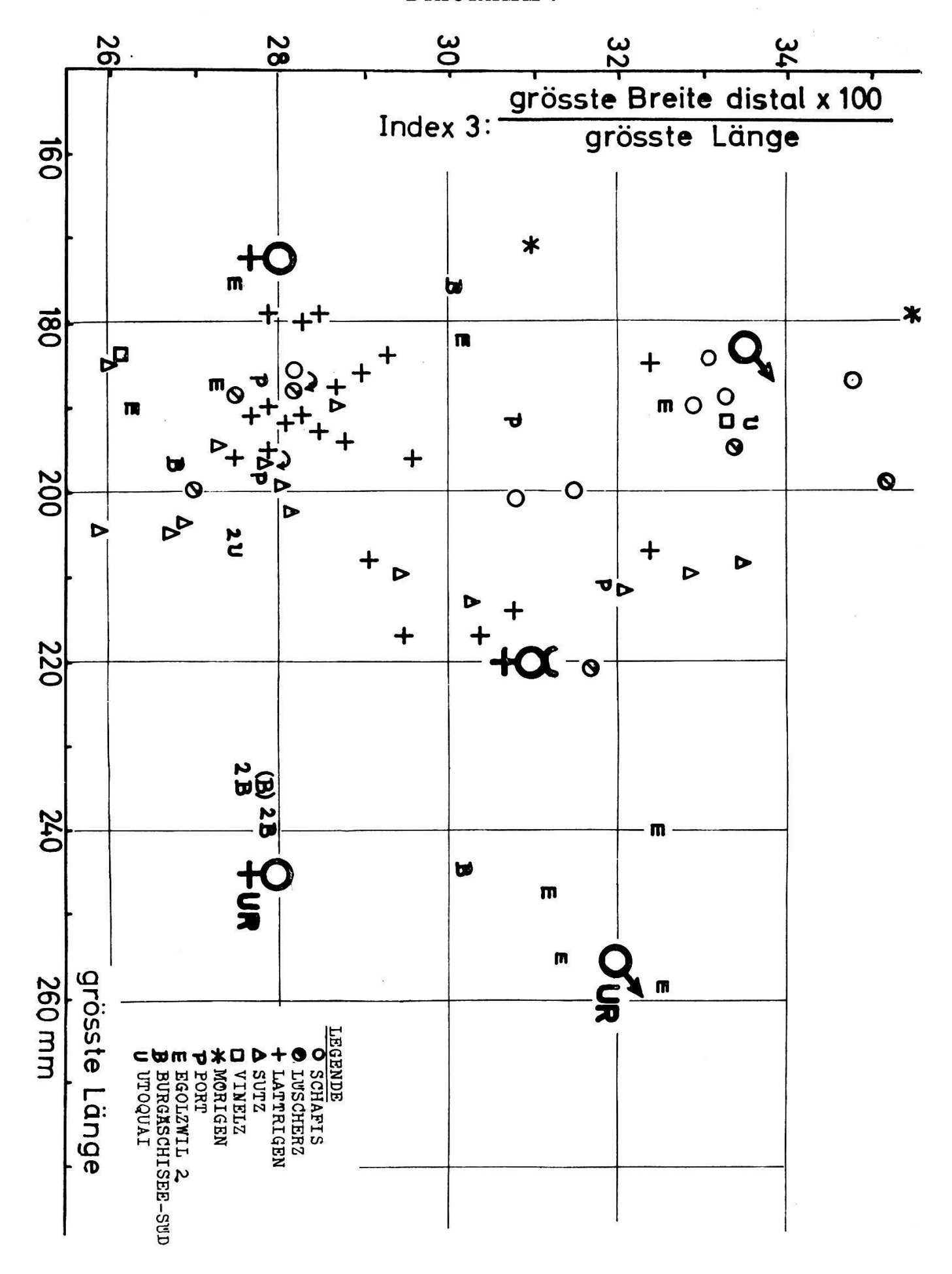
Prozentanteil der jugendlichen Unterkiefer an der Gesamtzahl derselben in den verschiedenen Stationen. Prozentanteil der drei Altersgruppen der adulten Unterkiefer an deren Gesamtzahl in den verschiedenen Stationen.

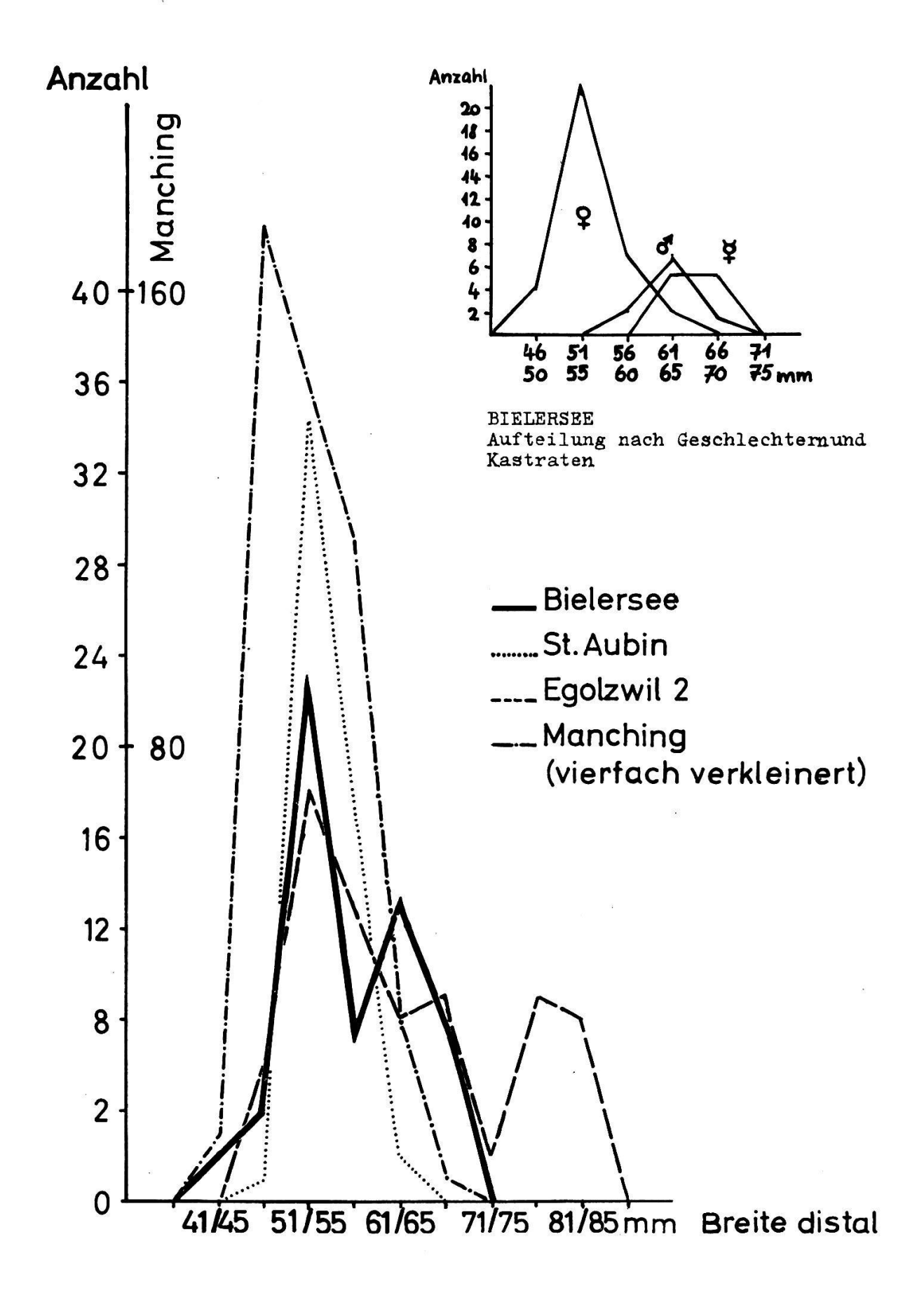


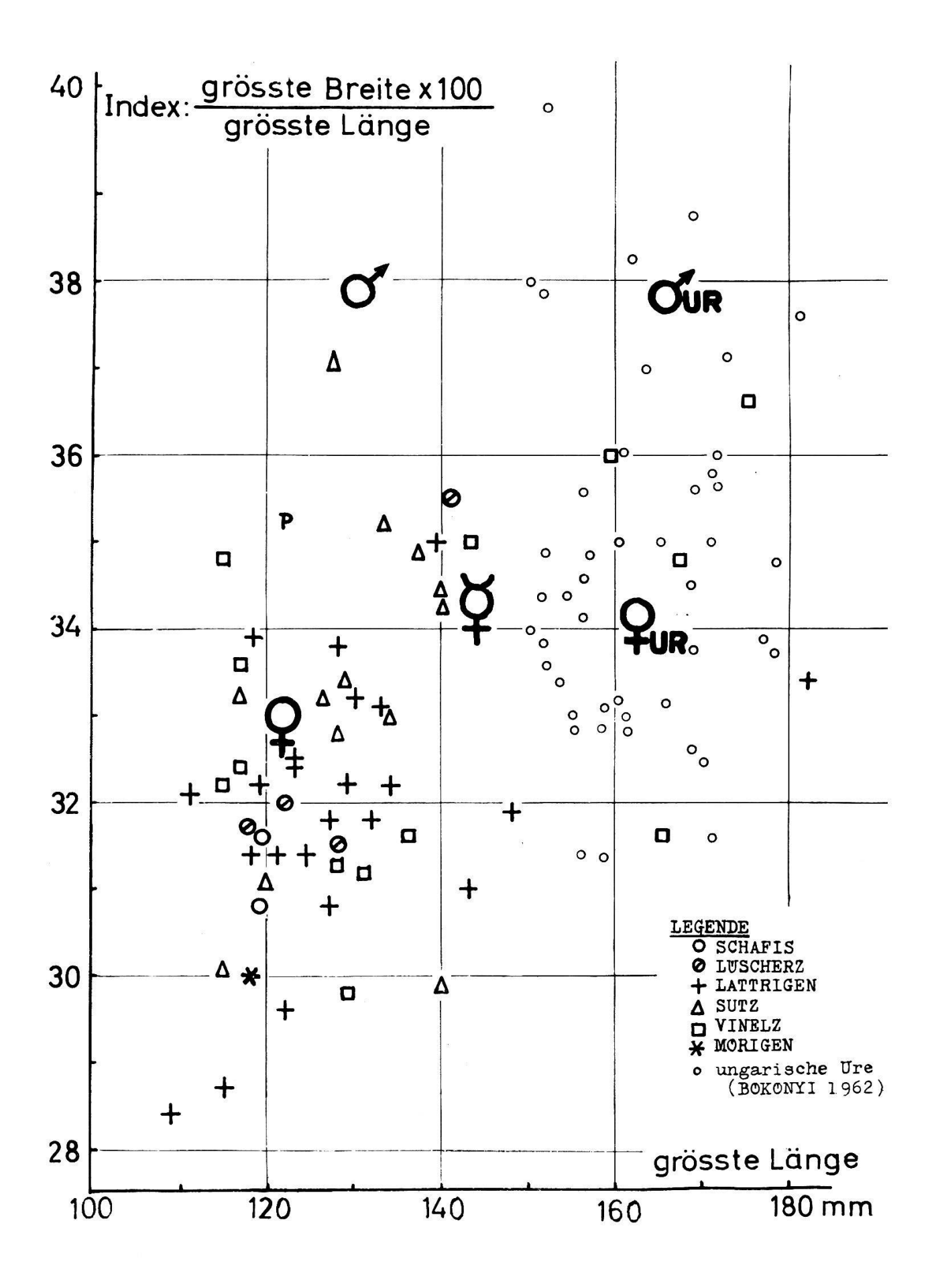


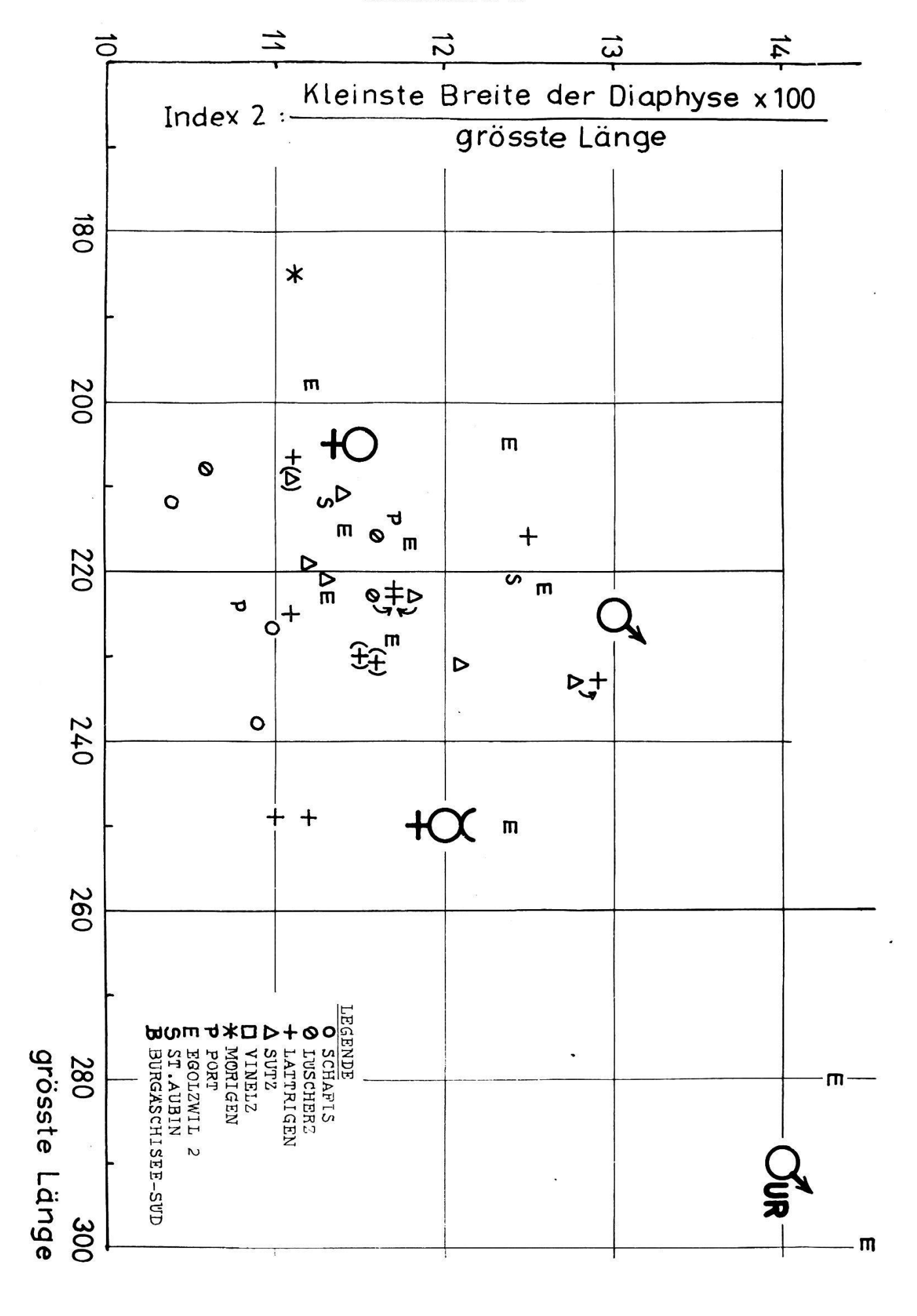


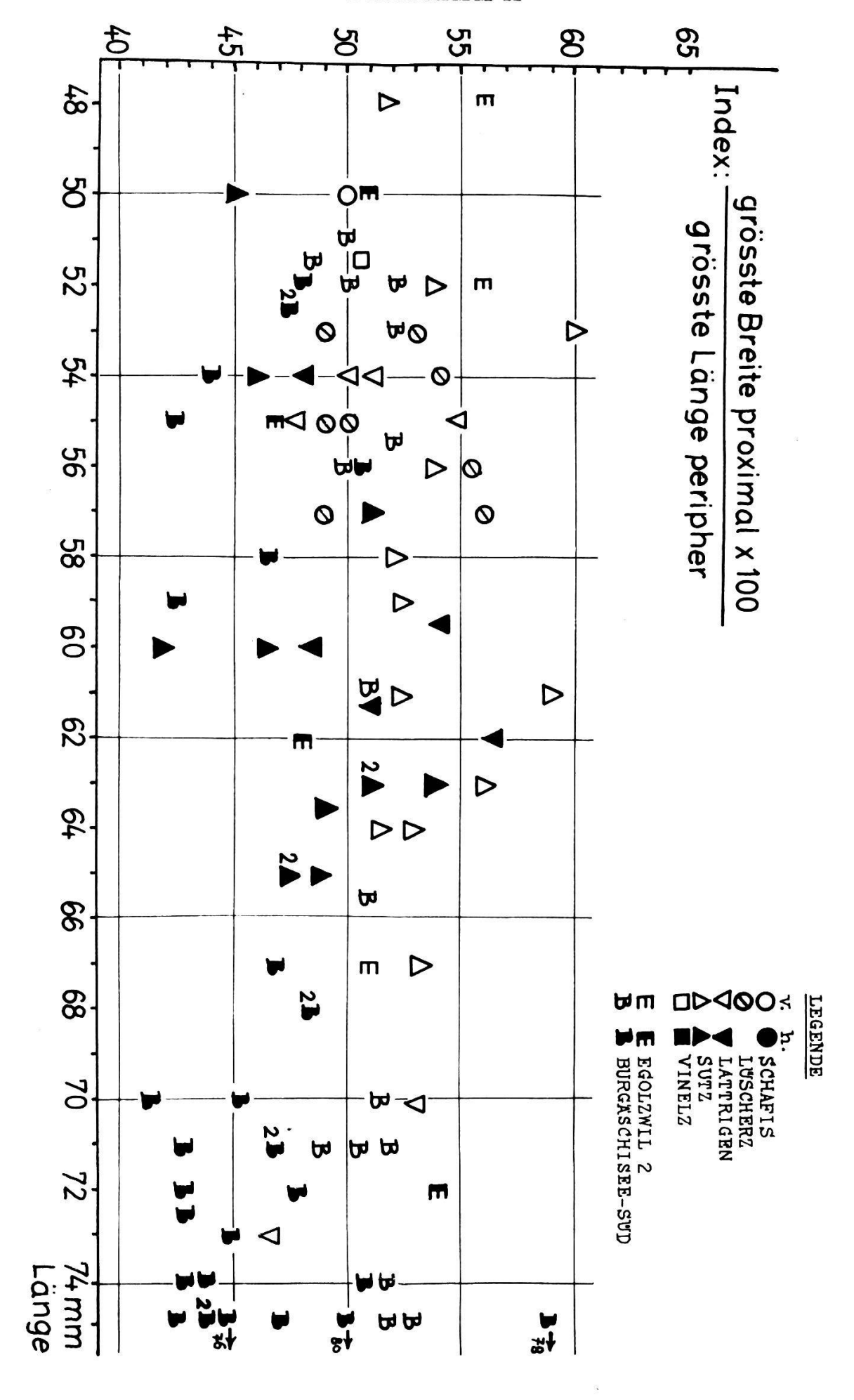


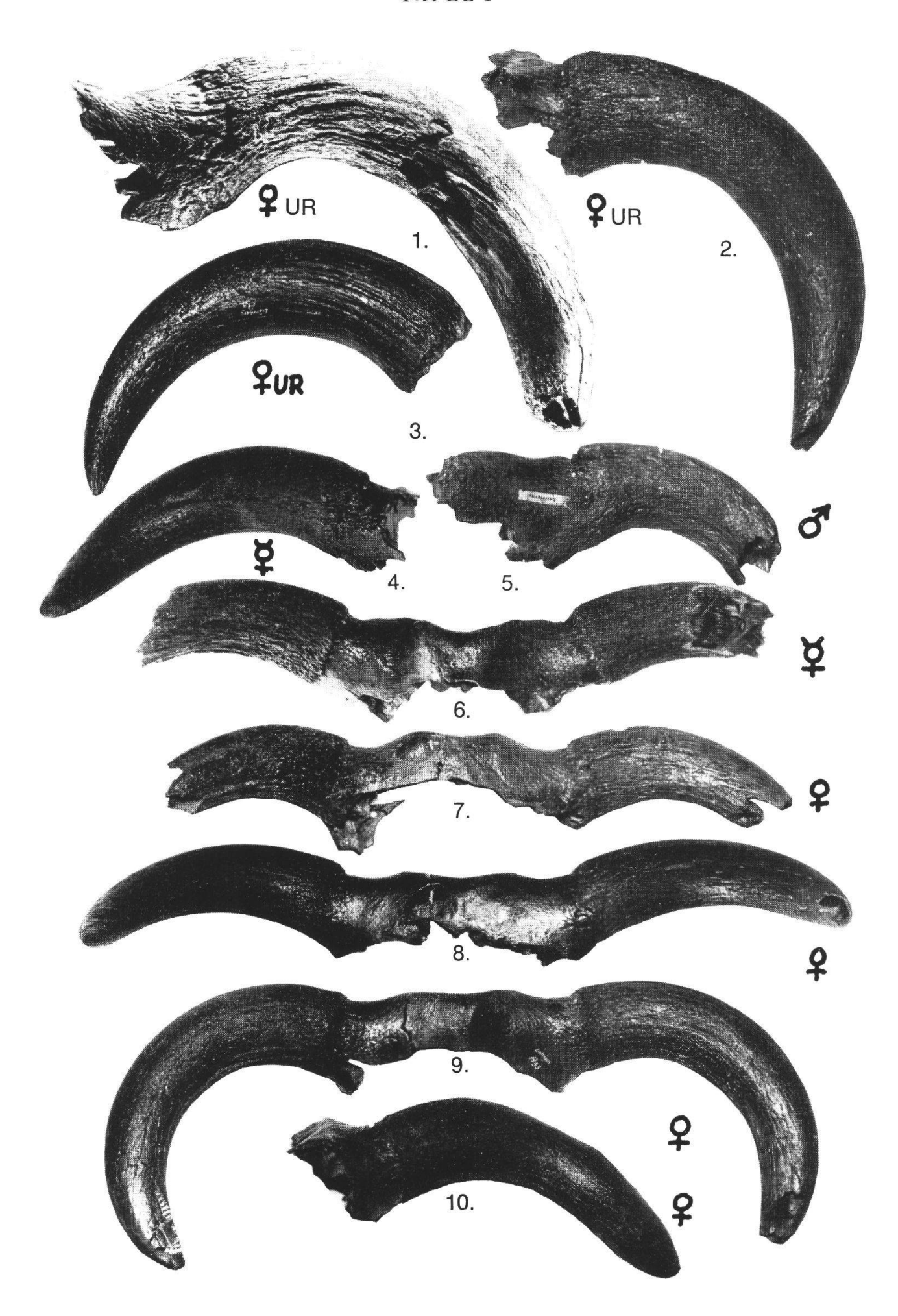


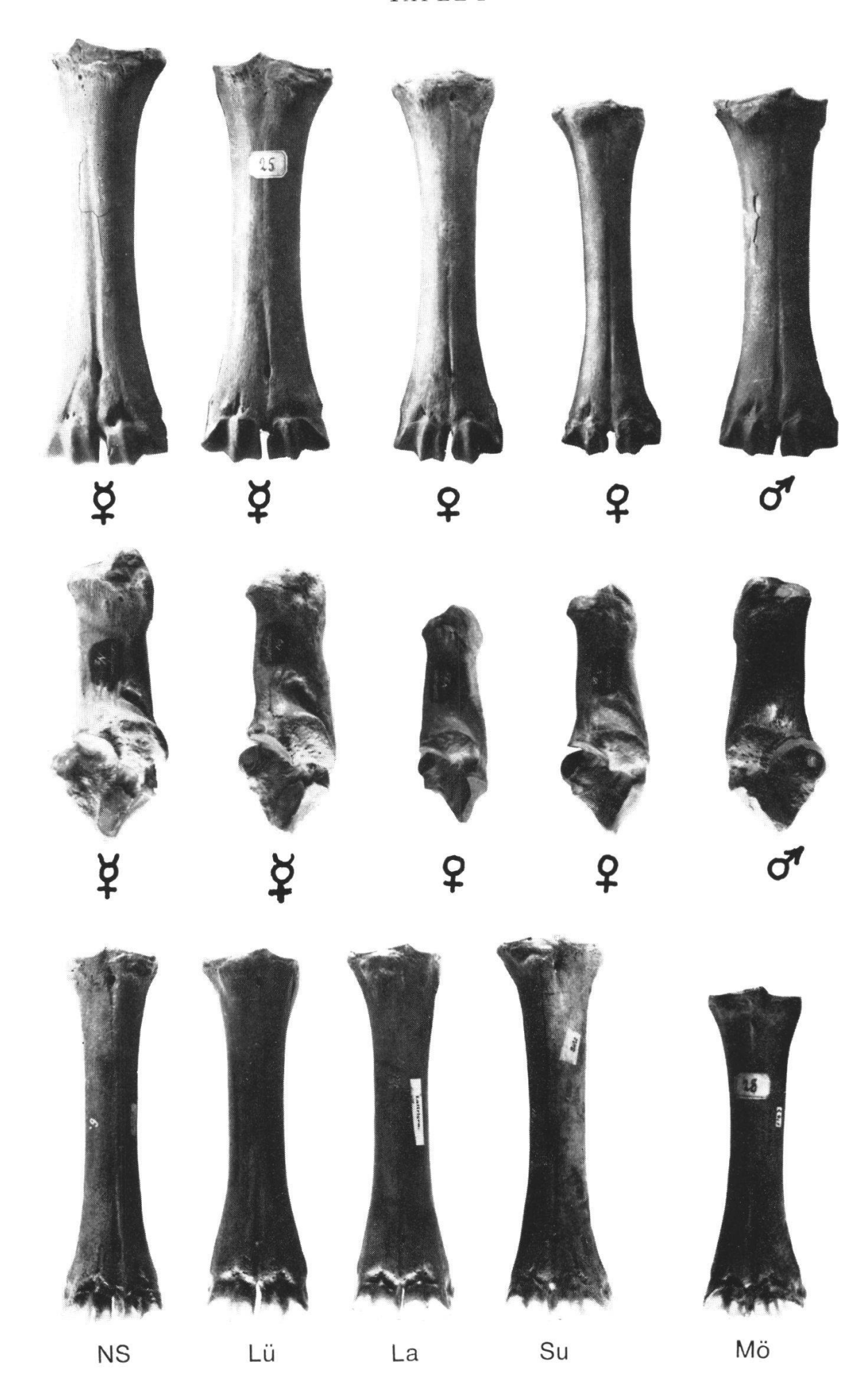












Legende zu den Diagrammen

Diagramm 1 Hornzapfen. Trennung der Geschlechter bei Hausrind und Ur (Umfang — Länge).

Diagramm 2 Hornzapfen. Trennung der Geschlechter bei Hausrind und Ur (Umfang — Index).

Diagramm 3 (oben links) Prozentanteil der jugendlichen Unterkiefer an der Gesamtzahl derselben in den verschiedenen Stationen.

Diagramm 4 (oben rechts) Prozentanteil der drei Altersgruppen der adulten Unterkiefer an deren Gesamtzahl in den verschiedenen Stationen.

Diagramm 5 (unten) Adulte Unterkiefer. Häufigkeitsverteilung der Backenzahnreihenlänge, getrennt nach Altersgruppen.

Diagramm 6 Metacarpus. Geschlechtertrennung bei Hausrind und Ur mit Index 2.

Diagramm 7 Metacarpus. Geschlechtertrennung bei Hausrind und Ur mit Index 3.

Diagramm 8 Metacarpus. Häufigkeitsverteilung der distalen Breite in verschiedenen Fundstellen.

Diagramm 9 Calcaneus. Geschlechtertrennung bei Hausrind und Ur.

Diagramm 10 Metatarsus. Geschlechtertrennung bei Hausrind und Ur mit Index 2.

Diagramm 11 Phalanx 3. Geschlechtertrennung bei Hausrind und Ur.

Legende zu den Tafeln

Tafel 1 (M.1:3)

Hornzapfen von Ur und Hausrindern verschiedenen Geschlechts.

Die Hornzapfen Nrn. 6—10 zeigen die verschiedenen Zapfenformen der Hauskühe, Nr. 10 weist zudem eine deutliche nuchale Abplattung auf.

(Nr. 1: Lü A 6, Nr. 2: La A 38, Nr. 3: Lü A 3, Nr. 4: Su A 16, Nr. 5: La A 37, Nr. 6: La A 79/A 80, Nr. 7: NS AA 1, Nr. 8: Su A 12/13, Nr. 9: La A 33/A 73, Nr. 10: La A 25)

Tafel 2 (M.1:3)

Obere Reihe: Geschlechtsunterschied bei den Metacarpen (von links nach rechts: La H1, H4, H13, H22, H9)

Mittlere Reihe: Geschlechtsunterschied bei den Calcanei (von links nach rechts: La N2, N4, N25, N16, Su N6)

Untere Reihe: Größenunterschied der Hauskühe der verschiedenen Fundstellen (von links nach rechts: NS H6, Lü H7, La H14, Su H13, Mö H1)